

## IV. HASIL DAN PEMBAHASAN

### A. Kualitas Air

Hasil analisis kualitas air pada Sungai Sepauk yang dibandingkan dengan kriteria mutu air sebagaimana termuat dalam lampiran PP nomor 82 Tahun 2001, tentang Pengelolaan Kualitas Air dan Pengendalian Pencemaran Air, dapat dilihat pada Tabel 3 .

Tabel 3. Hasil Analisis Kualitas Air pada Sungai Sepauk

Parameter	Satuan	Lokasi Penelitian			Kriteria mutu air kelas 1 PP No.82 TH.2001
		Hulu	Tengah	Hilir	
pH	-	7,68 a	7,68 a	8,09 b	6 - 9
Suhu	°C	26,8 a	26,9 a	26,7 a	25 - 32
DO (Dissolved oxygen )	mg.L <sup>-1</sup>	5,6 a	5,4 a	5,5 a	6
COD	mg.L <sup>-1</sup>	25,5 a	24 b	24,5 ab	10
BOD	mg.L <sup>-1</sup>	0,95 a	0,85 b	1 c	2
Debit Air	M <sup>3</sup> /detik	0,1 a	0,1 a	0,04 b	
CO <sub>2</sub>	Mg/l	7,41 a	8,67 a	10,36 a	

Keterangan : Huruf yang sama pada baris yang sama menunjukkan tidak ada beda nyata pada taraf  $\alpha = 5\%$

Derajat keasaman (pH) mempengaruhi keberadaan logam merkuri dalam sungai. Hasil pengukuran keasaman air permukaan menunjukkan pH minimum 7,68 dan maksimum 8,09 yang artinya masih berada dalam kisaran pH yang ditentukan 6 – 9, (lihat Tabel 3). Menurut Palar (1994), pH air rendah akan menyebabkan merkuri yang ada dalam perairan menjadi stabil, sedangkan apabila pH air tinggi dapat menurunkan kelarutan logam dalam air, karena kenaikan pH dapat mengubah kestabilan dari bentuk karbonat menjadi hidroksida yang membentuk ikatan dengan partikel pada badan air, sehingga akan menguap membentuk lumpur. Hasil uji statistik

tidak ada perbedaan yang signifikan antara hulu dan tengah (lihat Tabel 3 dan Lampiran 3). Hasil uji pH di daerah hilir cenderung lebih tinggi, karena pada daerah hilir aktivitas penduduk lebih banyak (MCK), limbah rumah tangga maupun sampah – sampah yang berasal dari ruko di daerah hulu dan tengah menumpuk di daerah hilir.

Hasil pemeriksaan suhu air tidak menunjukkan adanya pengaruh yang besar. Suhu air Sungai Sepauk berkisar antara 26 – 26,9°C ( lihat Tabel 3). Hasil uji statistik tidak ada perbedaan yang signifikan antara hulu, tengah dan hilir ( lihat Tabel 3), suhu tersebut relatif normal untuk perairan. Menurut Darmono (1995), apabila suhu tinggi maka logam merkuri akan menguap ke udara sesuai dengan sifatnya yang mudah menguap, sehingga kadarnya dalam perairan akan menurun. Menurut Ariawan (1994), faktor utama yang berpengaruh terhadap penurunan suhu dalam suatu badan air adalah intensitas cahaya yang diterima oleh badan air dan senyawa logam yang ada di volume air. Kondisi suhu air di Sungai Sepauk tidak terlalu banyak menyebabkan perubahan kadar merkuri di dalam air, karena intensitas cahaya yang masuk ke badan air tidak terlalu besar.

Adanya oksigen terlarut di dalam air sangat penting untuk kehidupan ikan dan organisme lainnya, hasil pemeriksaan air diketahui bahwa kandungan oksigen terlarut di Sungai Sepauk berkisar antara  $5,4 - 5,6 \text{ mg.L}^{-1}$  yang artinya mendekati kriteria mutu air kelas 1 yang ditentukan (lihat Tabel 3). Hasil uji statistik menunjukkan tidak ada beda nyata pada daerah hulu, tengah dan hilir ( lihat Tabel 3). Menurut Effendi (2003), pada perairan alami, ikan dan organisme akuatik lainnya membutuhkan oksigen terlarut kurang dari  $10 \text{ mg.L}^{-1}$  untuk melakukan proses metabolismenya. Hal ini terlihat dari masih adanya ikan yang hidup di perairan Sungai Sepauk walaupun tidak terlalu banyak.

Hasil pemeriksaan BOD pada daerah hulu  $0,95 \text{ mg.L}^{-1}$ , tengah  $0,85 \text{ mg.L}^{-1}$ , dan hilir  $1 \text{ mg.L}^{-1}$  (lihat Tabel 3). Hasil uji statistik terdapat perbedaan yang signifikan, daerah hilir lebih tinggi ( lihat Tabel 3 dan Lampiran 4). Hal ini disebabkan daerah hilir banyak pemukiman penduduk sehingga aktivitas yang terjadi di sungai semakin banyak. Nilai BOD yang tinggi menunjukkan semakin besarnya bahan organik yang terdekomposisi menggunakan sejumlah oksigen di perairan.

Hasil analisis COD di Sungai Sepauk berkisar antara  $24 - 25,5 \text{ mg.L}^{-1}$ , yang artinya berada di atas ambang batas yang diperbolehkan. Hasil uji statistik terdapat beda nyata pada daerah hulu, tengah dan hilir (lihat Tabel 3 dan Lampiran 4), hal ini disebabkan perairan Sungai Sepauk terjadi penumpukan limbah rumah tangga yang sulit terurai, keadaan di lapangan menunjukkan Sungai Sepauk terlihat keruh dan berbau. Nilai COD yang diperoleh pada penelitian ini jauh lebih besar dibandingkan BOD, menurut Darmono (2001), perbedaan nilai COD dengan BOD biasanya terjadi pada perairan tercemar karena bahan organik yang mampu diuraikan secara kimia lebih besar dibandingkan penguraian secara biologi.

Pengukuran Debit Air dilakukan secara bersamaan dengan pengambilan sampel air, lumpur dan ikan. Hasil perhitungan debit air pada masing masing lokasi yaitu hulu  $0,1 \text{ m}^3/\text{detik}$ , tengah  $0,1 \text{ m}^3/\text{detik}$ , hilir  $0,04 \text{ m}^3/\text{detik}$ . Hasil uji statistik dari masing – masing lokasi menunjukkan perbedaan yang signifikan (lihat Tabel 3 dan Lampiran 12). Hal ini menunjukkan bahwa kemampuan penyerapan oksigen oleh air rendah, makin cepat aliran air makin tinggi kadar oksigen terlarut. Menurut Mulyana (2007), faktor utama yang mempengaruhi debit air sungai, adalah curah hujan dan siklus tahunan dengan karakteristik musim hujan panjang (kemarau pendek), atau kemarau panjang (musim hujan pendek). Debit air sungai Sepauk pada

daerah hilir rendah karena daerah hilir merupakan pertemuan antara Sungai Sepauk dengan Sungai Kapuas, sehingga arus pada daerah hilir menjadi lambat.

Kadar karbondioksida bebas di sungai Sepauk berkisar antara 7,41 – 10,36 mg/l. Hasil uji statistik tidak ada perbedaan yang signifikan (lihat Tabel 3). Meningkatnya kadar CO<sub>2</sub> pada daerah hilir diikuti oleh penurunan kadar oksigen terlarut, sehingga kemampuan air membersihkan pencemar secara alamiah menjadi sedikit karena tergantung dengan ada tidaknya oksigen terlarut. Menurut Sastrawijaya (1991), kadar karbondioksida bebas di perairan berkaitan erat dengan bahan organik dan kadar oksigen terlarut. karbondioksida yang tinggi pada daerah hilir akan mempengaruhi proses pernafasan organisme perairan, sehingga akan terjadi kematian pada ikan.

## B. Analisis Merkuri Dalam Air Sungai

Hasil analisis kandungan merkuri pada air di Sungai Sepauk dapat dilihat pada Tabel 4.

Tabel 4. Kandungan Merkuri pada Air Sungai Sepauk

Lokasi sampel	Hasil analisis laboratorium	Kriteria mutu air kelas 1 PP No.82 TH.2001
Lengkenat (Hulu)	0,0002 a	0,001 mg/l
Tanjung Ria (Tengah)	0,0002 a	
Sepauk (Hilir)	0,0003 a	

Keterangan : Huruf yang sama pada kolom yang sama menunjukkan tidak ada beda nyata pada taraf uji  $\alpha = 5\%$ .

Mengetahui pencemaran logam berat di perairan Sungai Sepauk menggunakan tiga media sebagai indikator yaitu air, sedimen (lumpur) dan organisme hidup. Berdasarkan hasil analisis laboratorium, di peroleh kandungan merkuri di daerah hulu 0.0002 mg/l, tengah 0,0002 mg/l dan hilir 0,0003 mg/l, pada tiga lokasi tidak ada beda nyata (lihat Tabel 4 ). Dari penelitian konsentrasi Hg pada air di Sungai Sepauk, kadar merkurinya rendah dan berada di bawah nilai ambang batas, dengan demikian dapat dikatakan bahwa mutu air permukaan di Sungai Sepauk masih baik dengan konsentrasi merkuri di bawah batas deteksi alat.

Menurunnya kadar merkuri dipengaruhi oleh faktor lingkungan, iklim, dan musim. Aliran arus sungai memungkinkan berkurangnya konsentrasi merkuri, sehingga mengakibatkan partikel merkuri dalam sedimentasi akan bergerak mengikuti arus ke arah sungai utama. Faktor musim juga dapat menyebabkan penurunan kadar merkuri, dan penelitian ini dilakukan antara musim hujan dan musim kemarau.

Pada musim hujan, air Sungai Sepauk menjadi pasang dan volume air bertambah, sehingga banyak para penambang tidak melakukan penambangan dan penambangan tidak dilakukan setiap hari. Hal ini yang menyebabkan konsentrasi logam berat merkuri menurun. Musim kemarau, air sungai menjadi surut sehingga memudahkan para penambang melakukan penambangan emas. Menurut Darmono (1995), surutnya air pada musim kemarau menyebabkan konsentrasi merkuri di sungai meningkat, karena berkurangnya proses pengenceran dan volume air sedikit, sehingga kadar merkuri dalam air sangat tinggi.

### C. Analisis Merkuri Dalam Lumpur

Hasil analisis kandungan merkuri pada lumpur di sungai Sepauk dapat dilihat pada Tabel 5.

Tabel 5. Kandungan Merkuri pada Lumpur di sungai Sepauk

Lokasi sampel	Hasil analisis laboratorium
Lengkenat (Hulu)	0,27 a
Tanjung Ria (Tengah)	0,26 a
Sepauk (Hilir)	0,36 a

Keterangan : Huruf yang sama pada kolom yang sama menunjukkan tidak ada beda nyata pada taraf uji  $\alpha = 5\%$ .

Berdasarkan hasil analisis laboratorium di dapat kandungan merkuri pada lumpur di tiga lokasi yaitu hulu  $0,27 \text{ mg.L}^{-1}$ , tengah  $0,26 \text{ mg.L}^{-1}$ , hilir  $0,36 \text{ mg.L}^{-1}$ , uji statistik menunjukkan tidak ada beda nyata antara hulu, tengah dan hilir (lihat Tabel 5). Hasil analisis menunjukkan kadar merkuri di atas  $0,01 \text{ mg/kg}$  dan paling tinggi terjadi di daerah hilir, hal ini menunjukkan kadar merkuri dalam lumpur memiliki hubungan positif dengan keberadaan penambangan emas. Pengambilan sedimen sungai yang berupa lumpur dilakukan antara musim penghujan dan kemarau, dimana pada musim penghujan sungai banjir dan menyebabkan merkuri tersebar dengan luas diperairan dan lumpur akan bercampur dengan air, sehingga kandungan logam beratnya lebih tinggi.

Pada musim kemarau sungai menjadi surut dan kandungan merkuri pada lumpur tidak menyebar luas dan mengendap di sungai, hal ini menyebabkan kandungan logam berat rendah. Menurut Setiabudi (2005), saat musim kemarau, dimana banyak sungai yang memiliki debit air yang sangat kecil atau bahkan tidak berair, dengan demikian dapat diperkirakan bahwa sedimentasi logam berat dalam endapan sungai berlangsung lambat dan penyebarannya bersifat lokal. Pada saat musim hujan sebagian sungai mengalami banjir dan dalam keadaan demikian memungkinkan penyebaran merkuri dan unsur logam lainnya lebih luas, sehingga kontaminasi

merkuri dan unsur lainnya dalam air dan sedimen sungai akan membawa dampak lebih besar, terutama jika unsur-unsur berbahaya tersebut diserap oleh makhluk hidup.

Hasil analisa diduga bahwa penambangan emas rakyat dalam pengolahannya telah menyebabkan pencemaran sungai, meskipun standar baku mutu untuk sedimen sungai belum ditentukan. Kadar merkuri dalam beberapa contoh sedimen sungai telah menunjukkan konsentrasi yang sangat tinggi dan berpotensi menimbulkan dampak yang negatif dan berbahaya bagi kesehatan masyarakat di sekitar lokasi penambangan. Menurut Bryan (1976), konsentrasi logam berat tertinggi terdapat dalam sedimen yang berupa lumpur, tanah liat, pasir berlumpur dan campuran dari ketiganya dibandingkan dengan yang berupa pasir murni.

#### D. Analisis Merkuri Pada Ikan Patik

Hasil analisis kandungan merkuri pada ikan patik di Sungai Sepauk dapat dilihat pada Tabel 6.

Tabel 6. Kandungan Merkuri (mg/kg) pada Ikan Patik di Sungai Sepauk

Lokasi sampel	Hasil analisis laboratorium			Rata-rata ± Sd	Batas maksimum Cemaran Logam Hg
Lengkenat (Hulu)	0,00021 a	0,249 a	0,243 a	0,16 ± 0,14	0,5 mg/kg
Tanjung Ria (Tengah)	0,00043 a	0,459 a	< 0,020 a	0,15 ± 0,26	
Sepauk (Hilir)	0,00027 a	0,172 a	0,438 a	0,20 ± 0,21	

Keterangan : Huruf yang sama pada kolom yang sama menunjukkan tidak ada perbedaan pada taraf  $\alpha = 5\%$ .

Sd : Standar Deviasi

Sumber : BPOM

Berdasarkan hasil analisis AAS, akumulasi merkuri terbesar pada ikan patik yaitu pada lokasi hilir 0,20 mg/kg. Hasil uji statistik tidak ada perbedaan yang signifikan antara daerah hulu, tengah dan hilir (lihat Tabel 6). Kadar merkuri yang ditemukan masih berada dibawah nilai ambang batas yang diperkenankan oleh Balai Besar POM, hal ini cukup berbahaya bagi kesehatan manusia yang mengkonsumsinya secara terus menerus.

Ikan patik yang dikonsumsi berulang dapat mengakibatkan akumulasi di dalam tubuh. Rendahnya kadar merkuri pada ikan dapat diakibatkan oleh cukup tingginya curah hujan selama periode pengambilan sampel. Perilaku ikan berada di dasar sungai untuk mencari makan, dapat mengakibatkan akumulasi metil merkuri terikat dalam tubuh ikan.

Analisis akumulasi merkuri dilakukan pada daging ikan, hal ini untuk memprediksi besarnya merkuri yang masuk ke dalam tubuh manusia melalui ikan yang dikonsumsi. Di dalam air, metil merkuri diserap plankton kemudian masuk ke dalam tubuh ikan melalui rantai makanan. Menurut Arifin (2008), terjadinya proses akumulasi merkuri di dalam tubuh hewan air, karena kecepatan pengambilan merkuri (*uptake rate*) oleh hewan air lebih cepat dibanding dengan proses ekresi, karena metil-merkuri memiliki waktu sampai beberapa ratus hari di tubuh hewan air, sehingga zat ini menjadi terakumulasi dan konsentrasinya lebih besar dibanding air disekitarnya.

Proses dasar terjadinya bioakumulasi pada ikan di lingkungan perairan melalui dua jalur utama, jalur kontaminasi langsung dan kontaminasi melalui tingkatan tropik. Dua jalur kontaminasi akan mengalami penghalang (*barrier*) sebelum masuk ke dalam peredaran darah (Boudou *et al.* 1983). Kontaminasi merkuri terjadi di air dan ikan yang dimakan oleh masyarakat sekitar Sungai Sepauk, merkuri yang ada di air akan masuk ke dalam tubuh ikan melewati insang dan kulit sebelum masuk ke peredaran darah, selanjutnya merkuri akan terakumulasi pada organ

hati, otak, limpa, otot, dan ginjal. Ikan patik memakan plankton dan ikan-ikan kecil di sekitar sungai, hal ini menyebabkan terjadi kontaminasi merkuri di makanan. Makanan yang dimakan oleh ikan akan melewati usus sebelum masuk ke peredaran darah dan mengakumulasi fungsi organ dari ikan.

#### **E. Karakter Sungai Sepauk**

Sungai Sepauk merupakan salah satu sungai yang menjadi lokasi penambangan emas tanpa izin (PETI). Mesin relatif banyak yaitu 35 mesin di sungai dan 47 mesin di darat. Kerusakan lahan yang terjadi sebesar 430 hektar. Panambangan emas sudah terjadi selama ±10 tahun, ini merupakan perkiraan pencemar utama.

Sungai dimanfaatkan masyarakat untuk MCK, transportasi air dan penimbunan karet. Sampah yang berasal dari warung makanan dibuang langsung ke sungai. Hal ini yang menyebabkan air sungai Sepauk menjadi keruh dan berbau lumpur.

Hasil penelitian Rudolf (2004) menunjukkan, kehidupan mereka sudah sangat rawan terkontaminasi oleh merkuri. Keluhan gangguan kesehatan yang dirasakan oleh penambang dan non penambang dikarenakan mengkonsumsi ikan dan air sungai yang mengandung merkuri dan adanya kadar Hg pada rambut penambang dan non penambang. Hasil pemeriksaan kandungan merkuri pada air sungai, lumpur dan ikan patik diberikan kepada Pemerintah Kabupaten Sintang agar dapat di analisis untuk memantau lingkungan, mencegah rusaknya komponen lingkungan serta untuk menentukan tindak lanjut akibat masuknya zat pencemar ke dalam lingkungan.

### **V. SIMPULAN DAN SARAN**

#### **A. Simpulan**

Dari hasil penelitian mengenai kandungan merkuri pada air dan akumulasinya terhadap ikan di perairan sungai Sepauk dapat disimpulkan sebagai berikut :

1. Hasil analisis kandungan merkuri pada air Sungai Sepauk menunjukkan kontaminasi merkuri yang masih di bawah ambang batas yang ditetapkan pemerintah yaitu  $0,001 \text{ mg.L}^{-1}$ , sedang hasil analisis kandungan merkuri pada lumpur di perairan Sungai Sepauk menunjukkan kontaminasi merkuri yang tinggi di bagian hilir yaitu  $0,24 \text{ mg/kg}$ .
2. Akumulasi merkuri pada ikan patik di lokasi hulu, tengah dan hilir, masih di bawah ambang batas yang ditetapkan pemerintah yaitu  $0,5 \text{ mg/kg}$ .

## B. Saran

1. Berdasarkan kesimpulan diatas penulis menyarankan perlu dilakukan penelitian lebih lanjut untuk menentukan kandungan logam berat merkuri dalam daging ikan dan lumpur. Pengambilan sampel sebaiknya dilakukan pada musim kemarau. Hal ini dikarenakan perlunya pemantauan yang berkesinambungan terhadap keberadaan logam berat tersebut di perairan Sungai Sepauk.
2. Pengambilan sampel sebaiknya dilakukan pada jarak yang lebih dekat dan titik pengambilan sampel diperbanyak sehingga dapat menggambarkan kualitas lingkungan pada daerah di sekitar Sungai Sepauk yang mendekati kondisi sesungguhnya.
3. Pada penelitian ini, pengukuran kadar merkuri pada lumpur belum ada batasan maksimum menurut baku mutu air, diharapkan Pemerintah Daerah Kabupaten Sintang dapat merekomendasikan batasan maksimum kandungan merkuri pada lumpur kepada Gubernur Kalimantan Barat, karena kandungan merkuri pada lumpur sangat besar pengaruhnya terhadap organisme di sekitar sungai yang mengandung merkuri.



Affandi, R., dan Tang, U. 2002. *Fisiologi Hewan Air*. University Riau Press. Riau.  
217 p.

Alaerts, G., dan Sumestri, S., 1984. *Metode Penelitian Air*. Penerbit Usaha Nasional. Surabaya.

Anonim, 1997. *Undang- undang Republik Indonesia, no 23 tahun 1997*, Tentang Pengelolaan Lingkungan Hidup, Kantor Menteri Lingkungan Hidup. Jakarta.

Anonim, 2004. *Logam Berat Dalam Sedimen*, <http://www.damandiri.or.id/file/erlanggapbab2.pdf/7.04.2008>.

Anonim, 2006, Logam berat. [http://www.pascaunhas.net/jurnal\\_pdf/.7.04.2008](http://www.pascaunhas.net/jurnal_pdf/.7.04.2008).

- Anonim, 2007, Ikan Patik.<http://www.fishbase.org>. 15.09.08.
- Arifin, 2008, Merkuri (Hg); Logam Cair Toksik Mematikan, <http://www.bahaya> merkuri.net. 8.09.2008.
- Ariawan, I.K., 1994. *Beberapa Istilah dan Perubah penting dalam Pengelolaan Mutu Air tambak pada budidaya Udang Intensif*, Balai budidaya air payau, Jepara.
- Boudou, A. D. Georgescauld dan J. P. Desmazes. 1983. *Exotoxicological Role of the Membrane Barriers In Transport and Bioaccumulation of Mercury Compound. Aquatic Toxicology*. Wiley Series Advanced in Environmental Toxicology and Technology.
- Boyd, C. E., 1990. *Pengelolaan Kualitas Air Kolam Ikan*. Jaringan Informasi Perikanan Indonesia (INFIS) dan The Internasional Development Research Center (IDRC). Jakarta.
- Bryan, G.W. 1976. *Heavy Metal Contamination in the Sea* dalam R. Johson (Ed). Marine Pollution. London Academic Press.
- Budiono, 2003. Pengaruh Pencemaran Merkuri Terhadap Biota Air. *Makalah Pengantar Falsafah sains (PPS702)*. November, Penerbit fakultas Perikanan IPB, Bogor.
- Connell, W., dan Miller, J. G., 1994. *Kimia dan Ekotoksikologi Pencemaran*. Diterjemahkan oleh Koetoer Y., Universitas Indonesia. Jakarta.
- Darmono, 1995, *Logam Dalam Sistem Biologi Makhluk hidup*. Penerbit Universitas Indonesia. Jakarta.
- Darmono, 2001. *Lingkungan Hidup dan Pencemaran*. Penerbit Universitas Indonesia. Jakarta.
- Djuangsih, N., Benito A.K., dan Salim H., 1982. *Aspek toksikologi lingkungan*. Laporan Analisis Dampak Lingkungan. Lembaga Ekologi Universitas Padjadjaran, Bandung.
- Djunaid, M.S, 2002. Kajian Erosi dan Sedimentasi Pada DAS Teluk Balikpapan Kalimantan Timur, *Laporan Teknis Proyek Pesisir*, TE-02/13-I.
- Dobson, K., 2003. H43 Regional Enviromental Laboratory Development Project Technical training Program. *Atomic Absorption Spectrophotometry*. University Of Queensland.
- Effendi, H., 2003. *Telaah Kualitas Air Bagi Pengelolaan Sumber Daya dan Lingkungan Perairan*, Penerbit Kanisius. Yogyakarta.
- Kimball. J. W., 1983. *Biologi*, jilid II, Edisi V, Erlangga, Jakarta.
- Koeman, J.H., 1987. *Pengantar Umum Toksikologi*. Gadjah Mada University Press. Yogyakarta.

- Kay, R. and J. Alder, 1999. *Coastal Planning and Management*. E & FN Spon An Imprint of Routledge, London.
- Maanema, M., dan Berhimpoon S., 2007. Dampak aktivitas Pertambangan Terhadap Ekonomi Kelautan. *Lingkungan Hidup dan Kesejahteraan Masyarakat*. 20:3-5.
- Mukono, J., dan Corie I.P., 2006. Toksikologi Logam Berat B3 dan Dampaknya terhadap Kesehatan. *Kesehatan Lingkungan*. 2 (2) : 129-142.
- Mulyana, 2007. Pemodelan Debit Air Sungai. *Makalah Inisiatif Pengembangan Infrastruktur Data*. Institut Pertanian Bogor. Bogor.
- Nainggolan, N., Ikan Mengandung Merkuri Menimbulkan Penyakit Jantung. *Suara Pembaharuan* tanggal 6 januari 2003. Jakarta
- Palar, H., 1994. *Pencemaran dan Toksikologi Logam Berat*. Penerbit Rineka Cipta. Jakarta.
- Pescod, M. B ., 1970. *Investigation of Ecology*, W. B. Sounder company, Toronto.
- Rai, L.L., Gaur J.P., dan Kumar H.D., 1981. *Phycology and Heavy metal Pollution*. In Biological Review of the Phycology Society. Cambridge University Press London.
- Rudolf, 2004. Keluhan Gangguan Kesehatan Pada Penmabang Emas Tanpa Izin dan Masyarakat Dalam Kaitan Dengan paparan Merkuri di Sekitar Sungai Kapuas Kecamatan Nanga sepauk Kabupaten Sintang, Propinsi Kalimantan Barat. *Tesis*. Program Pasca sarjana. UGM.
- Sastrawijaya, A. T. 1991. *Pencemaran Lingkungan*. Penerbit PT. Rineka Cipta Jakarta.
- Setiabudi, B.T., 2005. Penyebaran Merkuri akibat Usaha Pertambangan Emas di Daerah Sangon, Kabupaten Kulon Progo, D.I.Yogyakarta. *Kolokium Hasil Lapangan*. 61 : 1-4.
- Suriawiria, U., 2005, *Air Dalam Kehidupan dan Lingkungan yang Sehat*. Penerbit P.T. ALUMNI, Bandung.
- Syahrul, M., dan Ahyar A., 2006. Analisis Logam Berat Dalam Ikan Bandeng (*Chanos chanos* Forskal) Goreng Secara Spektrofotometri Serapan Atom dari Beberapa Daerah Di Sulawesi Selatan. *Sains & Teknologi*. 6 (1) : 35-40.
- Walidicuk. 1974. *Some Biological Concern In Heavy Metals pollution*. Physiology Of Marine Organism Academic Press Inc. New York.
- Wardhana, W.A., 2001. *Dampak Pencemaran Lingkungan*. Andi Offset, Yogyakarta.
- Zonnevelt, N., Huiman E.A, dan Boon J.H., 1991. *Prinsip – prinsip Budidaya Ikan*. PT. Gramedia pustaka utama, Jakarta.

## Lampiran 1

Tabel 7. Standar Deviasi Merkuri Pada Ikan Patik di Lokasi Penelitian

Ulangan	Sampel I		Sampel II		Sampel III	
	X <sub>i</sub>	X <sub>i</sub> <sup>2</sup>	X <sub>i</sub>	X <sub>i</sub> <sup>2</sup>	X <sub>i</sub>	X <sub>i</sub> <sup>2</sup>
1	0,00021	0,00000004	0,00043	0,0000001	0,00027	0,00000007
2	0,249	0,062001	0,459	0,210681	0,172	0,029584
3	0,243	0,059049	0,020	0,0004	0,438	0,191844
Total	0,492	0,121	0,479	0,211	0,610	0,221
Rerata	0,164	0,040	0,159	0,070	0,203	0,073

$$S^2 = \frac{n \sum x_i^2 - (\sum x_i)^2}{n(n-1)}$$

### Standar deviasi sampel I:

$$S^2 = \frac{3x(0,121) - (0,492)^2}{3(3-1)} \\ = \frac{0,363 - 0,242}{6} = 0,020 = \sqrt{0,020} = \pm 0,14$$

### Standar deviasi sampel II:

$$S^2 = \frac{3x(0,211) - (0,479)^2}{3(3-1)} \\ = \frac{0,633 - 0,22}{6} = 0,068 = \sqrt{0,068} = \pm 0,26$$

### Standar deviasi sampel III:

$$S^2 = \frac{3x(0,221) - (0,610)^2}{3(3-1)} \\ = \frac{0,663 - 0,372}{6} = 0,048 = \sqrt{0,048} = \pm 0,21$$

## Lampiran 2

Tabel 8. Hasil Analisis Kualitas Air (Suhu, pH, DO, BOD, COD)

	N	Rata-rata	Standard deviasi	Standard error	Interval kepercayaan 95%		Minimum	Maksimum
					Batas terendah	Batas teratas		
Suhu Hulu	9	26.8000	0.48990	0.16330	26.4234	27.1766	26.40	27.90
Tengah	9	26.9778	0.71024	0.23675	26.4318	27.5237	26.40	27.20
Hilir	9	26.7333	0.68920	0.22973	26.2036	27.2631	26.30	27.20
Total	27	26.8370	0.62150	0.11961	26.5912	27.0829	26.30	27.20
PH Hulu	9	7.6833	0.28040	0.09347	7.4678	7.8989	7.05	7.94
Tengah	9	7.6822	0.28826	0.09609	7.4606	7.9038	7.29	8.05

Hilir Total	9 27	8.0967 7.8207	0.17909 0.31490	0.05970 0.06060	7.9590 7.6062	8.2343 7.9453	8.89 7.05	8.34 7.34
DO Hulu Tengah Hilir Total	9 9 9 27	5.8778 7.8222 8.7667 7.8222	0.33082 0.38658 0.40927 0.36515	0.11027 0.12886 0.13648 0.07027	5.6235 5.5251 5.4521 5.6778	6.1321 6.1194 6.0813 5.9667	5.40 5.30 5.20 5.20	6.40 6.30 6.20 5.40
BOD Hulu Tengah Hilir Total	9 9 9 27	0.9500 0.8589 1.0044 0.9378	0.05612 0.01269 0.03745 0.07208	0.01871 0.00423 0.01248 0.01387	0.9069 0.8491 0.9757 0.9093	0.9931 0.8686 1.0332 0.9663	0.85 0.84 0.95 0.84	1.05 0.88 1.05 1.05
COD Hulu Tengah Hilir Total	9 9 9 27	25.6000 24.3111 24.8333 24.9148	1.05119 1.28301 0.86603 1.16972	0.35040 0.42767 0.28868 0.22511	24.7920 23.3249 24.1676 24.4521	26.4080 25.2973 25.4990 25.3775	24.50 22.50 23.00 22.50	27.00 26.00 26.00 27.00

### Lampiran 3

Tabel 9. Hasil Analisis Variansi Kualitas Air (Suhu, PH, DO, BOD, COD) dengan Uji Anova  $\alpha = 5\%$

	Jumlah kuadrat	df	Rata-rata kuadrat	F	Sig
Suhu					
Antar kelompok	0.287	2	0.114	0.354	0.706
Dalam kelompok	9.756	24	0.406		
Total	10.043	26			
PH					
Antar kelompok	1.028	2	0.514	7.956	0.002
Dalam kelompok	1.550	24	0.065		
Total	2.578	26			
DO					
Antar kelompok	0.056	2	0.028	0.195	0.824
Dalam kelompok	3.411	24	0.142		
Total	3.467	26			
BOD					
Antar kelompok	0.097	2	0.049	30.979	0.000
Dalam kelompok	0.038	24	0.002		
Total	0.135	26			
COD					
Antar kelompok	7.565	2	3.783	3.241	0.057
Dalam kelompok	28.009	24	1.167		
Total	35.574	26			

Tabel 10. Hasil Uji Duncan Untuk PH dengan  $\alpha = 5\%$

Lokasi	N	$\alpha = 0,05$	
		1	2
Hilir	9	7.6822	
Hulu	9	7.6822	
Tengah	9		
Sig.			8.0967 1.000

### Lampiran 4

Tabel 11. Hasil Uji Duncan Untuk BOD dengan  $\alpha = 5\%$

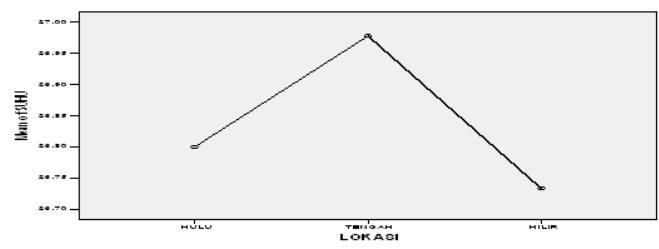
Lokasi	N	$\alpha = 0,5$		
		1	2	3
Tengah	9	0.8589		
Hulu	9		0.9500	
Hilir	9	1.000	1.000	1.0044
Sig.				1.000

Tabel 12. Hasil Uji Duncan untuk COD dengan  $\alpha = 5\%$

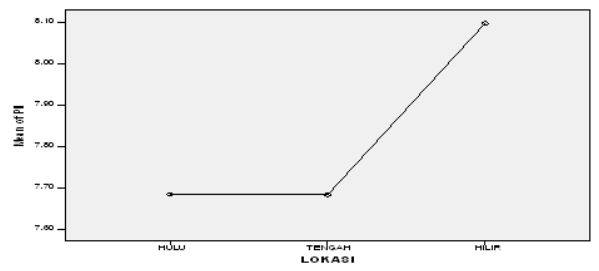
Lokasi	N	$\alpha = 0,5$	
		1	2
Tengah	9	24.3111	
Hilir	9	24.8333	
Hulu	9		24.8333
Sig.		0.315	25.6000 0.145

#### Lampiran 5

Gambar 2. Grafik Suhu

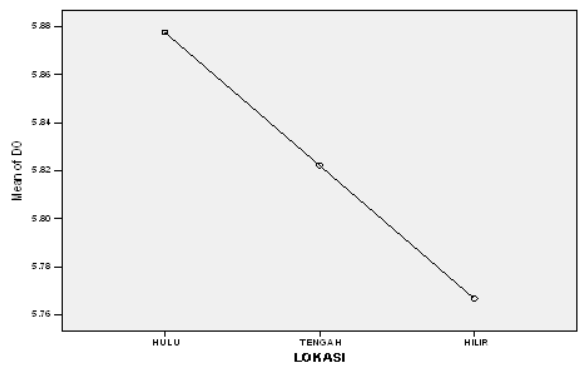


Gambar 3. Grafik PH

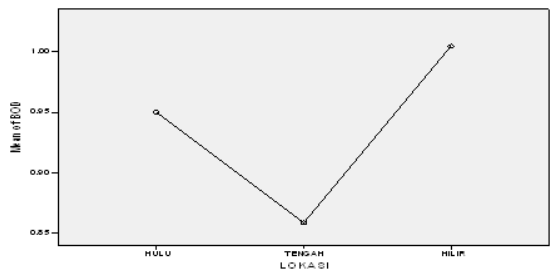


#### Lampiran 6

Gambar 4. Grafik DO

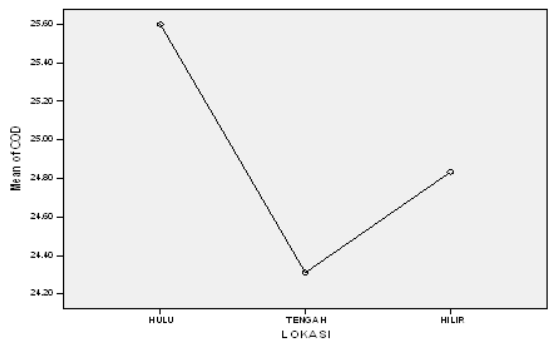


Gambar 5. Grafik BOD



Lampiran 7

Gambar 6. Grafik COD



**Lampiran 8**

Tabel 13. Hasil Analisis Merkuri Pada Air

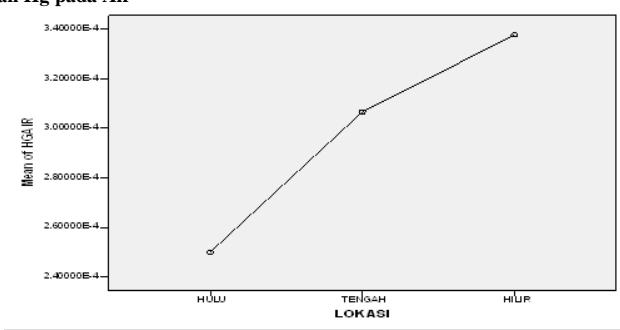
J	Rata-rata	sd	Standar error	Interval kepercayaan 95%		Minimum	Maksimum
				Batas terbawah	Batas teratas		
1	0.0002500	0.00007890	0.00002630	0.0001894	0.0003106	0.00020	0.00040
2	0.0003067	0.00013937	0.00004646	0.0001995	0.0004138	0.00020	0.00062
3	0.0003378	0.00017755	0.00008966	0.0001310	0.0005445	0.00020	0.00100
7	0.0002981	0.443835	0.00003417	0.0002279	0.0003684	0.00020	0.00100

**Lampiran 9**

Tabel 14. Hasil Analisis Variansi Merkuri Pada Air

	Jumlah kuadrat	df	Rata-rata kuadrat	F	Sig.
Antar kelompok Dalam kelompok	0.000 0.000	2 24	0.000 0.000	0.546	0.586
Total	0.000	26			

Gambar 7. Grafik Kandungan Hg pada Air



**Lampiran 10**

Tabel 15. Hasil Analisis Merkuri Pada Lumpur

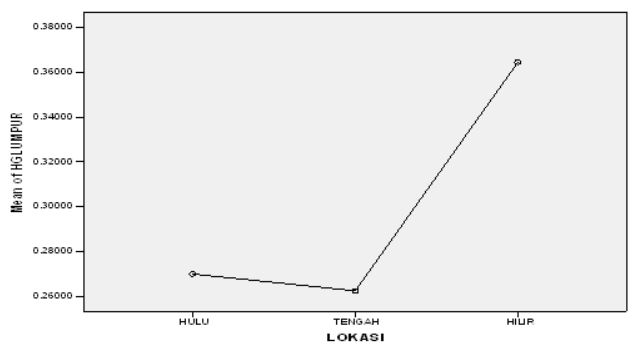
Lokasi	N	Jumlah kuadrat	sd	Standar error	Interval kepercayaan 95%		Minimum	Maksimum
					Batas terbawah	Batas teratas		
Hulu Tengah Hilir	2 2 2	700000 625000 645000	0.02828427 0.00353553 0.14778532	0.000000 0.250000 0.450000	0.0158759 0.2307345 0.9632984	0.5241241 0.2942655 0.6922984	0.25000 0.26000 0.26000	0.29000 0.26500 0.46900
Total	6	990000	0.443835	1.563295	0.2104734	0.3875266	0.25000	0.46900

**Lampiran 11**

Tabel 16. Hasil Analisis Variansi Merkuri Pada Lumpur

	Jumlah kuadrat	df	Rata-rata kuadrat	F	Sig.
Antar kelompok Dalam kelompok	0.013 0.023	2 3	0.006 0.008	0.856	0.508
Total	0.036	5			

**Gambar 8. Grafik Kandungan Hg pada Lumpur**



#### Lampiran 12

Tabel 17. Hasil Analisis CO<sub>2</sub>

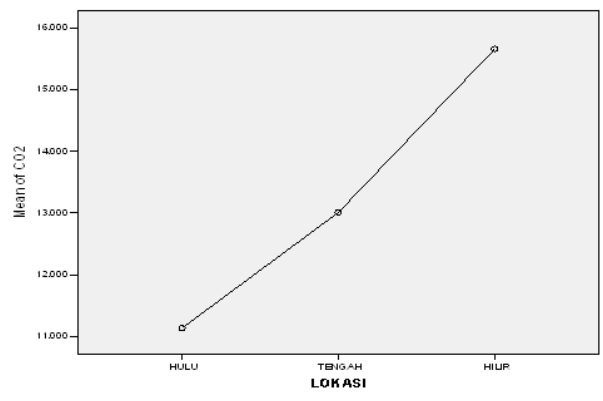
Lokasi	N	Jumlah kuadrat	sd	Standar error	Interval kepercayaan 95%		Minimum	Maksimum
					Batas terbawah	Batas teratas		
Hulu Tengah Hilir	3	11.13717	7.557855	3.085481	3.20568	19.06865	2.018	20.000
	3	13.01183	6.328322	2.583526	6.37067	19.65300	3.795	22.000
	3	15.65833	6.325628	2.582427	9.01999	22.29667	2.996	19.776
Total	9	13.26911	6.632498	1.563295	9.97085	16.56737	2.018	22.000

#### Lampiran 13

Tabel 18. Hasil Analisis Variansi CO<sub>2</sub>

	Jumlah kuadrat	df	Rata-rata kuadrat	F	Sig.
Antar kelompok Dalam kelompok	61.919 685.912	2 15	30.959 45.727	0.677	0.532
Total	747.831	17			

Gambar 9. Grafik CO<sub>2</sub>



Lampiran 14

Tabel 19. Hasil Analisis Debit Air

Lokasi	N	Jumlah kuadrat	sd	Standar error	Interval kepercayaan 95%		Minimum	Maksimum
					Batas terbawah	Batas teratas		
Hulu	3	0.2967	0.00577	0.00333	0.2823	0.3110	0.29	0.30
Tengah	3	0.2367	0.03215	0.01856	0.1568	0.3165	0.20	0.26
Hilir	3	0.2133	0.03055	0.01764	0.1374	0.2892	0.18	0.24
Total	9	0.2489	0.04343	0.01448	0.2155	0.2823	0.18	0.30

Lampiran 15

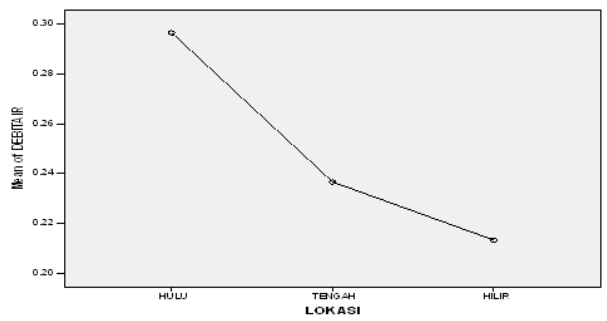
Tabel 20. Hasil Analisis Variansi Debit Air

	Jumlah kuadrat	df	Rata – rata kuadrat	F	Sig.
Antar kelompok Dalam kelompok	0.011 0.004	2 6	0.006 0.001	8.317	0.019
Total	0.015	8			

Tabel 21. Hasil Uji Duncan Untuk Debit Air dengan  $\alpha = 5\%$

Lokasi	N	$\alpha = 0,5$	
		1	2
Hilir Tengah Hulu Sig.	3 3 3 3	0.2133 0.2367 0.311	02967 1.000

Gambar 10. Grafik Debit Air



#### Lampiran 16

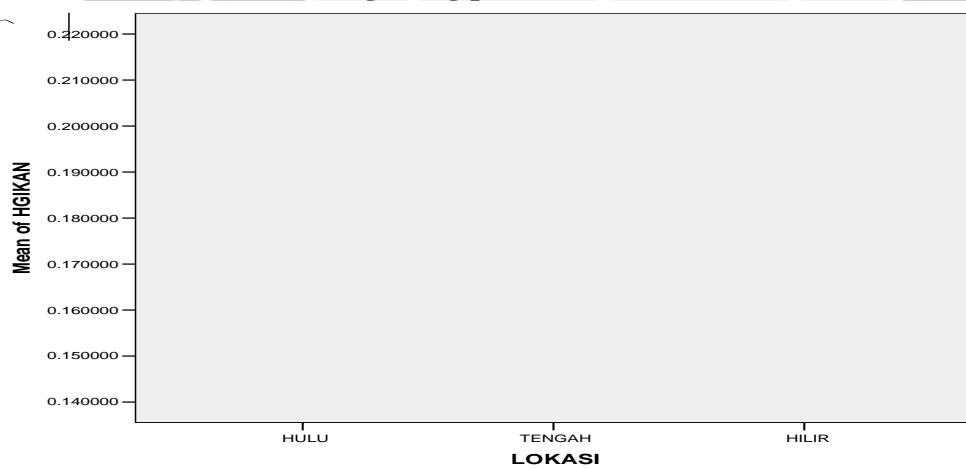
Tabel 22. Hasil Analisis Merkuri Pada Ikan

	N	Jumlah Kuadrat	sd	Standar error	Interval kepercayaan 95%		Minimum	Maksimum
					Batas terbawah	Batas teratas		
Hulu Tengah Hilir	3 3 3	16407000 15981000 20342333	0.141938630 0.259290837 0.220550352	***** ***** *****	-0.18852510 -0.48430415 -0.34445411	0.51666510 0.80392415 0.75130078	0.000210 0.000430 0.000270	0.249000 0.459000 0.438000
Total	9	17576778	0.185576971	*****	0.03312069	0.31841487	0.000210	0.459000

## Lampiran 17

Tabel 23. Hasil Analisis Variansi Merkuri pada Ikan

Gambar 11. Grafik Kandungan Hg pada Ikan Patik



## Lampiran 18



Gambar 2. Lokasi penambangan emas



Gambar 3. Ikan Patik



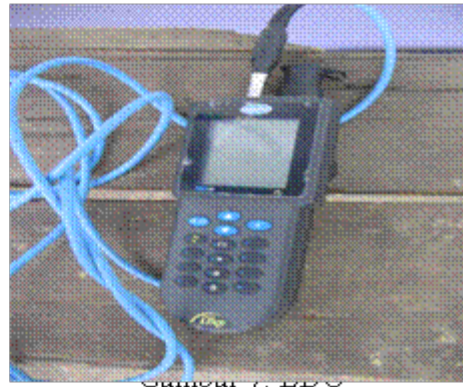
Gambar 4. Pengukuran kualitas air



Gambar 5. Ikan patik kering



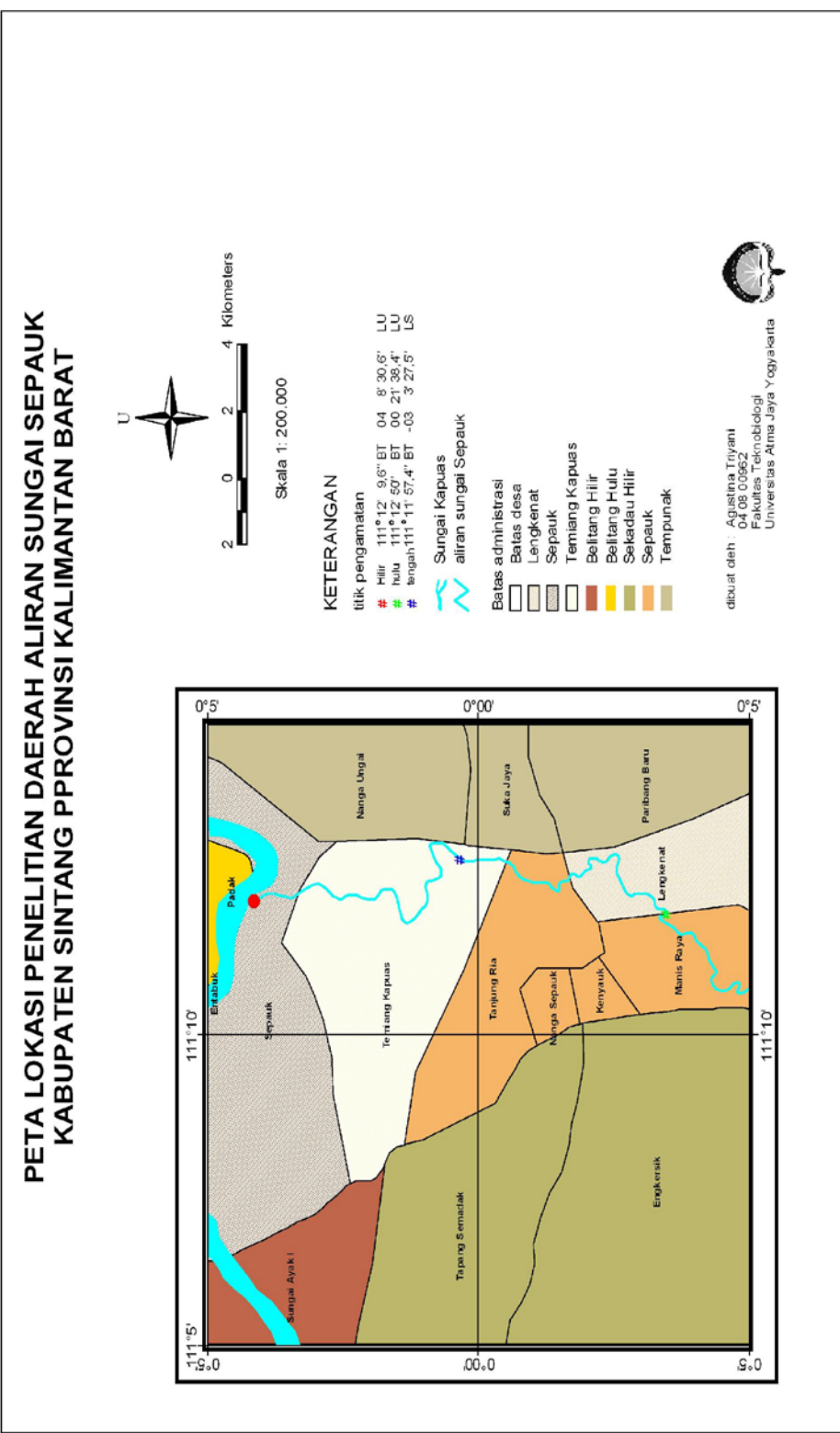
Gambar 6. AAS



Gambar 7. DO Meter



Lampiran 19



## Lampiran 20

**Tabel 24. Hasil Analisis Merkuri Pada Air, Lumpur dan Ikan**

No	Kode Sampel	Parameter	Hasil Pengukuran (ppb)			Metode
			Hulu	Tengah	Hilir	
1	Air Station A	Hg	0,23	0,33	0,22	Atomic Absorption Spectrofotometer
2	Air Station B	Hg	0,37	0,27	0,22	Atomic Absorption Spectrofotometer
3	Air Station C	Hg	0,25	0,34	0,28	Atomic Absorption Spectrofotometer
4	Lumpur Station I	Hg	-	-	-	Atomic Absorption Spectrofotometer
5	Lumpur Station II	Hg	-	-	-	Atomic Absorption Spectrofotometer
6	Lumpur Station III	Hg	-	-	-	Atomic Absorption Spectrofotometer
7	Ikan Station I	Hg	0,21			Atomic Absorption Spectrofotometer
8	Ikan Station II	Hg	0,43			Atomic Absorption Spectrofotometer
9	Ikan Station III	Hg	0,27			Atomic Absorption Spectrofotometer

Keterangan : - ( - ) : Tidak ada sampel lumpur

- Tanggal Analisis : 23 Juni 2008

## Lampiran 21

Tabel 25. Hasil Analisis Merkuri Pada Air dan Lumpur

No	Jenis Contoh	Nomor Analisis	Kode Contoh	Satuan	Hasil Uji	
					Hg	CO <sub>2</sub>
1	Air	P.1307-08	T <sub>1</sub> A (Hulu)	Mg/l	< 0,0002	16,0
2	Air	P.1308-08	T <sub>2</sub> A (Tengah)	Mg/l	< 0,0002	16,0
3	Air	P.1309-08	T <sub>3</sub> A (Hilir)	Mg/l	< 0,0002	18,0
4	Air	P.1310-08	T <sub>1</sub> B (Hulu)	Mg/l	< 0,0002	16,0
5	Air	P.1311-08	T <sub>2</sub> B (Tengah)	Mg/l	< 0,0002	16,0
6	Air	P.1312-08	T <sub>3</sub> B (Hilir)	Mg/l	< 0,0002	16,0
7	Air	P.1313-08	T <sub>1</sub> C (Hulu)	Mg/l	0,0002	20,0
8	Air	P.1314-08	T <sub>2</sub> C (Tengah)	Mg/l	0,00062	22,0
9	Air	P.1315-08	T <sub>3</sub> C (Hilir)	Mg/l	0,00052	18,0
10	Lumpur	P.1316-08	Hulu	Mg/kg	0,290	Na
11	Lumpur	P.1317-08	Tengah	Mg/kg	0,265	Na
12	Lumpur	P.1318-08	Hilir	Mg/kg	0,469	Na

Catatan : - Metode Uji Hg untuk Air : SNI 06-2462-1991

- Metode Uji Hg untuk Lumpur : AAS
- Metode Uji CO<sub>2</sub> : Titrimetri
- Na : Tidak dianalisis
- Tanggal Analisis : 31 Juli 2008

Lampiran 22

Tabel 26. Hasil Analisis Merkuri Pada Ikan Patik

No	Jenis Contoh	Nomor Analisis	Kode Contoh	Hasil Uji Hg (mg/kg)
1	Ikan	P.1319-08	Hulu	0,249
2	Ikan	P.1320-08	Tengah	0,459
3	Ikan	P.1321-08	Hilir	0,172

Catatan : - Metode Uji Hg : SNI 01-2896-1998  
- Tanggal Analisis : 29 Juli 2008

Lampiran 23

Tabel 27. Hasil Analisis Merkuri Pada Ikan Patik

No	Jenis Contoh	Nomor Analisis	Kode Contoh	Hasil Uji Hg (mg/kg)
1	Ikan	P.1723-08	Hulu	0,243
2	Ikan	P.1724-08	Tengah	<0,020
3	Ikan	P.1725-08	Hilir	0,438

Catatan : - Metode Uji Hg : SNI 06-6992.2-2004  
- Tanggal Analisis : 9 September 2008

Lampiran 24

Tabel 28. Hasil Analisis Merkuri Pada Air

No	Jenis Contoh	Nomor Analisis	Kode Contoh	Satuan	Hasil Uji	
					Hg	CO <sub>2</sub>
1	Air	P.1714-08	T <sub>1</sub> A (Hulu)	Mg/l	0,0004	2,018
2	Air	P.1715-08	T <sub>2</sub> A (Tengah)	Mg/l	< 0,0002	3,795
3	Air	P.1716-08	T <sub>3</sub> A (Hilir)	Mg/l	< 0,0002	2,996
4	Air	P.1717-08	T <sub>1</sub> B (Hulu)	Mg/l	< 0,0002	2,417
5	Air	P.1718-08	T <sub>2</sub> B (Tengah)	Mg/l	0,0004	10,388
6	Air	P.1718-08	T <sub>3</sub> B (Hilir)	Mg/l	0,0002	19,776
7	Air	P.1720-08	T <sub>1</sub> C (Hulu)	Mg/l	0,0002	10,388
8	Air	P.1721-08	T <sub>2</sub> C (Tengah)	Mg/l	< 0,0002	9,888
9	Air	P.1722-08	T <sub>3</sub> C (Hilir)	Mg/l	0,001	18,578

Catatan : - Metode Uji Hg untuk Air : SNI 06-2462-1991  
 -Metode Uji CO<sub>2</sub> : Titrimetri  
 -Tanggal Analisis : 9 September 2008

Lampiran 25

Tabel 29. Hasil Analisis Merkuri Pada Lumpur

No	Parameter Uji	Satuan	Hasil Uji			Motode Uji
			Hulu P.1854-08	Tengah P.1855-08	Hilir P.1856-08	
1.	Merkuri (Hg)	Mg/kg	0,25	0,26	0,26	AAS

Catatan : Tanggal Analisis : 13 Oktober 2008

Lampiran 26

Tabel 30. Hasil Pemeriksaan Analisa Air Bersih

No	Parameter	Satuan	Kelas Mutu Air		Hasil Uji	Metode Uji
			I	II		
1	Temperatur	° C	± 3	± 3	26,2	SNI 06 – 2413 - 1991
2	pH	-	6 - 9	6 - 9	6,41	SNI 06 – 2413 - 1991
3	BOD	Mg/l	2	3	1,3	SNI 06 – 2503 - 1991
4	COD	Mg/l	10	25	8	SNI 06 – 2504 - 1991
5	DO	Mg/l	6	4	4,8	APHA 4500 O9 :1998
6	Merkuri (Hg)	Mg/l	0,001	0,002	≤0,0002	SNI 06 – 2462 - 1991

Catatan : Sampel berasal dari : LH. Sekda  
 Kab. Sintang  
 Lokasi Pengambilan : Sungai Sepauk  
 Data Diperoleh Tanggal : 17 – 10 - 2005  
 Nomor LabKes : 1090 / 15 AB

Lampiran 27

Tabel 31. Hasil Pemeriksaan Analisa Air Bersih

No	Parameter	Satuan	Kadar Maksimum Yang Diperbolehkan	No	Hasil Pemeriksaan
<b>A FISIKA</b>					
1	Temperatur	° C	± 3	3	26,9
2	Debit Air	M <sup>3</sup> /detik	-		0,1
<b>B KIMIA ANORGANIK</b>					
1	Air Raksa (Hg)	ppb	1	1	0,51
2	pH	-	6 - 9	11	6,94
3	DO	Mg/l	6	26	5,5
4	BOD	Mg/l	2	27	1,0
5	COD	Mg/l	10	28	6

Catatan : Sampel berasal dari : LH. Sekda Kab. Sintang  
 Lokasi Pengambilan : Sungai Sepauk  
 Data Diperoleh Tanggal : 3– 7 - 2007  
 Nomor LabKes : 905 / 220 AB

Lampiran 28

Tabel 32. Hasil Pemeriksaan Analisa Air Bersih

Catatan :  
 Sampel berasal dari : LH. Sekda Kab. Sintang  
 Lokasi Pengambilan : Sungai Sepauk  
 Data Diperoleh Tanggal : 24 - 3 - 2008  
 Nomor STU : 224/AL/IV/2008

No	Parameter	Satuan	Kelas Mutu Air		Hasil Uji	Metode Uji
			I	II		
1	Temperatur	° C	± 3	± 3	27,8	SNI 06 – 2413 - 1991
2	pH	-	6 - 9	6 - 9	4,97	SNI 06 – 2413 - 1991
3	BOD	Mg/l	2	3	0,93	SNI 06 – 2503 - 1991
4	COD	Mg/l	10	25	24,6	SNI 06 – 2504 - 1991
5	DO	Mg/l	6	4	5,12	APHA 4500 O9 :1998
6	Merkuri (Hg)	Mg/l	0,001	0,002	0,0003	SNI 06 – 2462 - 1991

Lampiran 29

Tabel 33. Batas Maksimum Cemaran Logam Berat Pada Makanan

No	Komoditi	As Mg /kg	Pb Mg /kg	Cu Mg /kg	Zn Mg /kg	Sn Mg /kg	Hg Mg /kg	Ket.
I	Buah dan Hasil Olahan-nya							
	1. Acar Buah	10,0	10,0	20,0	10,0	40,0 (250,0)	-	
	2. Sari Buah	0,2	0,03	5,0	5,0	40,0 (250,0)	0,03	
	3. Sari Buah Konsen-trat	0,2	0,03	5,0	5,0	40,0 (250,0)	0,03	Dihitung terhadap makanan yang siap dikonsumsi
	4. Salai	1,0	1,5	10,0	10,0	40,0 (250,0)	-	
	5. Tomat	1,0	1,0	10,0	10,0	40,0 (250,0)	0,03	
	6. Buah dan Hasil Olahan yang Tidak tertera di atas	1,0	2,0	5,0	10,0	40,0 (250,0)	0,03	
II	Coklat, Kopi, teh							
	1. Coklat Bubuk	1,0	2,0	5,0	10,0	40,0 (250,0)	0,03	Dihitung terhadap bahan yang mudah

							dikeringkan dan bebas lemak
	2. Kopi Bubuk	1,0	2,0	3,0	2,0	40,0 (250,0)	0,03
	3. Teh	1,0	2,0	150,0	10,0	40,0 (250,0)	0,03
III	Daging dan Olahan-nya	1,0	2,0	20,0	10,0	40,0 (250,0)	0,03
IV	Gula, Madu						
	1.Fruktaosa	1,0	0,5	2,0			0,03
	2. Gula pasir, Glukosa	1,0	2,0	2,0	40,0	40,0 (250,0)	0,03
	3. Sirup	0,5	1,0	10,0	25,0	-	-
	4. Madu	1,0	10,0	30,0	-	-	-
V	Ikan dan Hasil Olahan-nya	1,0	2,0	20,0	100,0	40,0 (250,0)	0,5
VI	Makanan Bayi dan Anak						
	1.Pengga- nti Air Susu Ibu	0,1	0,3	5,0	10,0	40,0 (250,0)	0,03
	2. Makan- an Bayi dan Anak	0,1	0,3	5,0	10,0	40,0 (250,0)	0,03
VII	Minyak dan Lemak						
	1.Marga- rin	0,1	0,1	0,1	0,1	40,0 (250,0)	0,03
	2. Minyak Nabati Yang dimurnikan	0,1	0,1	0,1	0,1	40,0 (250,0)	0,03
VIII	Minuman Ringan						
	1. Es Lilin	0,5	1,0	20,0	-	-	-
	2.Minum- an ringan	0,1	0,2	2,0	5,0	40,0 (250,0)	-
IX	Minuman Keras	0,1	0,2	2,0	2,0	40,0 (250,0)	0,03
X	Minuman Bubuk	0,1	0,2	2,0	5,0	40,0 (250,0)	-
XI	Rempah – rempah dan bumbu						
	1. Rem- pah – rempah, bumbu	1,0	10,0	30,0	-	-	Dihitung terhadap bahan yang sudah dikeringkan
XII	Sayur dan Hasil Olahan						
	1. Acar	1,0	10,0	20,0	40,0	40,0	-

	1. EsKrim	0,5	1,0	20,0	-	-	-	
	2. Mente- ga	0,1	0,1	0,1	-	40,0 (250 ,0)	0,03	
	3. Susu dan Hasil Olahan Yan g Tidak tertera Diatas	0,1	0,3	20,0	40, 0	40,0 (250 ,0)	0,03	Dihitung terhadap makanan yang siap dikonsumsi/di minum
XI V	Bahan Lain	0,1	2,0	30,0	40, 0	40,0 (250 ,0)	0,03	

Sumber : Surat Keputusan Direktur Jendral Pengawasan Obat dan  
Makanan Nomor : 03725/B/SK/VII/89 Tentang Batas  
Maksimum Cemaran Logam Berat Dalam makanan

## Lampiran 30

**Tabel 34. Perkiraan Jumlah Pertambangan Emas Tanpa Izin Di Kabupaten Sintang, April 2007**

No	Kecamatan	Di Sungai	Di Darat	Kerusakan Lahan	Ket.
1	Sintang	27 mesin	9 mesin	180 Ha	Data ini
2	Tempunak	23 mesin	9 mesin	380 Ha	bersifat
3	Sepauk	35 mesin	47 mesin	430 Ha	temporer,
4	Dedai	37 mesin	17 mesin	290 Ha	sewaktu –
5	Kayan Hilir	9 mesin	-	80 Ha	waktu
6	Kayan Hulu	9 mesin	-	80 Ha	berubah
7	Serawai	25 mesin	19 mesin	120 Ha	disebabkan :
8	Ambalau	7 mesin	-	70 Ha	1. Mesin
9	Ketungau Hilir	13 mesin	7 mesin	185 Ha	rusak
10	Ketungau Tengah	12 mesin	12 mesin	175 Ha	2. Penambang
11	Ketungau Hulu	15 mesin	5 mesin	100 Ha	Bangkrut
12	Kelam Permai	17 mesin	9 mesin	310 Ha	3. Pindah,
13	Sungai Tebelian	3 mesin	-	70 Ha	karena
14	Mensiku Jaya	3 mesin	3 mesin	46 Ha	ditemukan provit area baru Perkiraan perolehan per hari : 1. Di air 3 gram 2. di darat 10 gram
					Dalam seminggu bekerja selama 6 hari Dari pukul 07.00 sampai pukul 17.00

Sumber : Data Dinas Pertambangan dan Energi Kabupaten Sintang